

京都大学工学部 正員 岩佐善樹

京都大学工学部 正員 今本博健

建設省東北地建 正員 ○尾田榮幸

§1 はじめに

粒子を含有下流の研究の目的は、粒子を含有下流の自体的解明、すなわち土砂流、血漿流などの巨視的・混相流としての挙動の解明を目的とするとともに、粒子を含有下流の研究を流した流自作の微視的構造の解明を目的とすることにある。本研究においては粒子を含有下流を Two-phase flow として取扱う。流の場はセシ断流場とし、粒子の存在にともなう平均流の変化を“粒子間隔”という概念に帰し、Simulationを用いて考察するとともに、京大土木水理実験室において行われた内径5cm 長さ約5m の管路における実験結果を中心として粒子の存在による流の構造の変化について、若干の考察をなす。以下。

§2 粒子間隔

流の構造と平均流とは適合する方針として、セシ断流場において混合距離理論が現状において最も有効であろう。混合距離理論において水粒子が主流方向と直角に移動することによる運動量の輸送は許容とされたから、水粒子が自由に移動できる空間が必要となる。粒子を含有下流においては、粒子間の間隔が水粒子が自由に移動できる空間と考え、粒子内内隔の頻度分布を Simulation より求め、それを用いて Karman 常数 K の変化を混合長 λ と通して考察する。

2.1 モデルと Simulation

- (1) 粒子の濃度分布が管路断面において一様である。
- (2) 管路断面内における時間的に変動する粒子の自由な両横は付随濃度 ρ とする。

という2つの仮定より、つぎのモデルを考えた。 (図-1 参照)

長さ D の区間に長さ d_0 から d_0 まで変化する通径群が N_0 個あり、平均 λ に入る N の各直径片断の間の間隔を粒子間隔とするモデルである。これを Simulation にあてると N は 5000 に分割し、 $0 \sim 5000$ の一様整数乱数を発生させ図-2のフローチャートにしたがい電子計算機 KDC-II を用いて Simulation を行った。結果一例を図-3に示す。

図-1

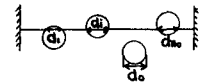


図-2

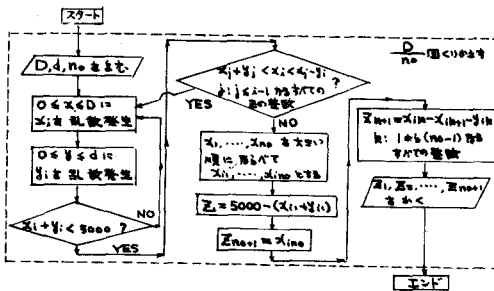
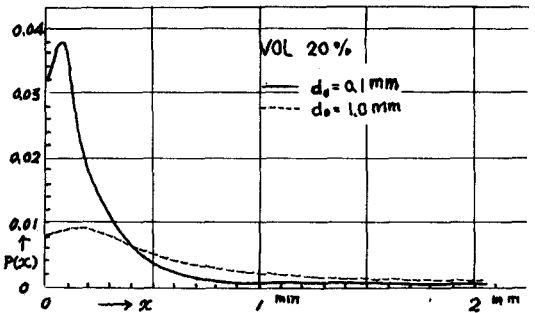


図-3

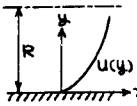


2.2 Kármán 常数 k に対する粒子間隔を用いた考察

図-4 図-4の様に座標系をとる。純水に対する混合長 l_0 は

$$l_0(y) = 0.4y - 0.44 \frac{y^2}{R} + \dots$$

l_0 が y の関数形を示す (J. Nikuradse)



粒子間隔 α とし、純水における混合長 l_0 と粒子が混入したときの混合長 l は次の

関係が成り立ちと仮定する。

$$\begin{cases} l = f_n\left(\frac{\alpha}{l_0}\right) l_0 & (x < l_0) \\ l = l_0 & (x \geq l_0) \end{cases} \quad \begin{aligned} & \because f_n\left(\frac{\alpha}{l_0}\right) \text{ は粒子が存在する } l_0 \text{ の減少を決定する関数} \\ & \because \begin{cases} x \rightarrow 0 & f_n\left(\frac{\alpha}{l_0}\right) \rightarrow 0 \\ x \rightarrow l_0 & f_n\left(\frac{\alpha}{l_0}\right) \rightarrow 1 \end{cases} \text{ の性質をもつ。} \end{aligned}$$

粒子間隔 α と同じ確率 C_0 の u_0 を与えらるると粒子間隔頻度分布より決定される l の l による $P(x)$ とする。このとき l_0 における粒子を含む流れに対する混合長 l_0' は次のように求めらる。

$$l_0' = \int_0^{l_0} f_n\left(\frac{\alpha}{l_0}\right) l_0 P(x) dx + \int_{l_0}^{\infty} l_0 P(x) dx$$

Wall region と Core region における混合長はそれぞれ壁面より下 y での平均値、 $y=h_0$ から $y=R$ までの平均値と仮定する

$$\begin{aligned} l_{wall} &= \frac{1}{\delta} \int_0^{\delta} l_0' dy \\ &= \frac{1}{\delta} \int_0^{\delta} l_0(y) \left[\int_0^{l_0(y)} f_n\left(\frac{\alpha}{l_0(y)}\right) P(x) dx + \int_{l_0(y)}^{\infty} P(x) dx \right] dy \end{aligned}$$

$$\begin{aligned} l_{core} &= \frac{1}{R-h_0} \int_{h_0}^R l_0(y) dy \\ &= \frac{1}{R-h_0} \int_{h_0}^R l_0(y) \left[\int_0^{l_0(y)} f_n\left(\frac{\alpha}{l_0(y)}\right) P(x) dx + \int_{l_0(y)}^{\infty} P(x) dx \right] dy \end{aligned}$$

$f_n\left(\frac{\alpha}{l_0}\right)$ が簡単な関数形をとり、Simulation より求めた $P(x)$ を用いると、右辺の計算が出来る。その結果によれば、壁面近傍及中心領域における k の減少の速さは粒径の小さい粒子 (0.1mm) に対しては顕著である。しかし粒径の大きい粒子に対しては不可能であった。この理由は k が多く含まれることによると思われる。

3 実験結果と若干の考察

実験は比重量 1.05、粒径 0.84 以上、 $Q_2 \approx 0.84$,

$Q_1 \approx 0.84$, $0.105 \sim 0.21$ の 4 種の粒子を用いた。実験結果の一部を図-5、図-6 に示す。図-5 は $\sqrt{u^2}$ を示し、図-6 は $\sqrt{u^2}$ を示す。

図-5 には $\sqrt{u^2}$ が濃度が増加すると乱れの強さも増すこと、とくに中心領域において大きくなることを示す。

図-6 には実験結果から計測器の計測特性を加え、その特性を定量的に評価するために、粒子を含む流れの速度変動の平均値、高周波領域を増加することを示す。

図-5

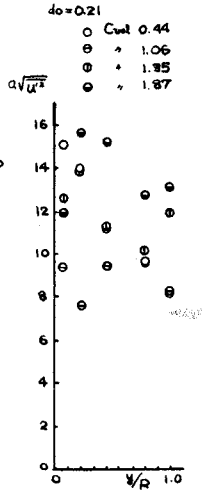


図-6

